

مقایسه نمودار کنترل توان شوارت و T^2 هتلینگ

فریده توانگر^۱، هوشنگ طالبی^۲، محمد حسین علامت ساز^۳

چکیده:

وقتی در یک فرآیند کنترل کیفیت m مشخصه کیفیتی وابسته به طور همزمان اندازه گیری شوند، نمونه می‌تواند شامل بردارهای انفرادی یا گروهی از مشاهدات باشد. در چنین حالتی از روش‌های کنترل کیفیت چند متغیره استفاده می‌شود، که یکی از آنها روش آماره T^2 هتلینگ است. اما اگر هر یک از مشخصه‌های کیفیتی به طور مجزا در نظر گرفته شوند از نوعی نمودار کنترل شوارت به طور توان استفاده می‌گردد. در این مقاله با مروری بر این دو روش و ارائه مثال‌هایی از داده‌های واقعی و شبیه سازی شده به مقایسه آن‌ها پرداخته نشان داده می‌شود که نمودار T^2 علاوه بر داشتن توان آزمون بالاتر، همبستگی بین متغیرها را نیز مورد توجه قرار داده و در نتیجه محافظه کارانه‌تر از نمودار شوارت عمل می‌کند.

واژه‌های کلیدی: آماره T^2 هتلینگ، توان آزمون، کنترل کیفیت چند متغیره، نمودار شوارت، نمودار کنترل.

۱ مقدمه

آماره T^2 هتلینگ یکی از معیارهای رایج در کنترل (شوارت) به چند متغیره، در کنترل فرآیند نمونه‌های گروهی مواد اولیه تولید مورد توجه قرار گرفته است. مروری بر این موضوع را می‌توان در مقاله وودال و توماس [۸] و مقاله نومیکاس و مک گریگر [۵] یافت.

در مرحله اول برای تهیه نمودار کنترل معمولاً دو حالت مورد توجه قرار می‌گیرد. اول اینکه داده‌ها از جامعه‌ای با توزیع نرمال چند متغیره با میانگین‌های

آنچه نمودار کنترل کیفیت چند متغیره در سال‌های اخیر است. این آماره نه تنها برای مرحله اول، در تهیه نمودار کنترل مبنا و یا کنار گذاشتن داده‌های پرت قابل استفاده است، بلکه برای مرحله دوم، یعنی برای کنترل کیفیت محصول تولید شده و تشخیص دور شدن سطح کیفیت از مقدار هدف، به کاربرده می‌شود.

مروری بر کاربرد آماره T^2 را می‌توان در مقاله میسون و بانگ [۲] ملاحظه کرد. اخیراً این

^۱دانشگاه آزاد اسلامی واحد شیراز
^۲گروه آمار، دانشکده علوم، دانشگاه اصفهان
^۳گروه آمار، دانشکده علوم، دانشگاه اصفهان

بحث و مقایسه قرار خواهیم داد. قضایای مربوط به مبنای نظری این مقاله در پیوست همراه با اثبات آنها آمده است.

۲ مبانی نظری

فرض کنید p مشخصه کیفیتی را بخواهیم به طور همزمان اندازه گیری کنیم به طوری که بردار مشخصه‌ها دارای توزیع نرمال p -متغیره با بردار میانگین ($\mu_1, \mu_2, \dots, \mu_p$) = μ و ماتریس کوواریانس Σ باشد که در آن ζ_μ میانگین ز-امین مشخصه و Σ ماتریس $p \times p$ مشکل از کوواریانس های دو به دو بین p مشخصه است. در این بخش دو حالت مورد بررسی قرار می‌گیرد.

حالت اول: یکی از حالت‌هایی که می‌تواند در یک فرآیند کنترل کیفیت چند متغیره مورد نظر باشد، کنترل بردارهای انفرادی مشاهدات است. در این صورت برای یک نمونه n تایی از بردارهای تصادفی با میانگین μ با چنین آزمون فرضی رویرو می‌باشیم:

$$H_0: \mu_i = \mu \quad \text{در برابر} \quad H_1: \mu_i \neq \mu \quad \forall i = 1, 2, \dots, n$$

به عبارت دیگر مسئله این است که آیا بردار مشاهده‌ای (x_1, x_2, \dots, x_p) رفتاری که دلالت بر انحراف مکانی آن از بردار میانگین $(\mu_1, \mu_2, \dots, \mu_p) = \mu$ داشته باشد را نشان می‌دهد؟

نابرابر ولی واریانس‌های برابر آمده باشند و دوم اینکه داده‌ها از جامعه‌ای با توزیع نرمال چند متغیره یکسان گرفته شده باشد. در مرحله دوم کنترل کیفیت محصول با مشاهدات جدید مورد ارزیابی قرار می‌گیرد. این در حالی است که در مرحله اول نموداری با میانگین و حدود اطمینان مشخص و استاندارد به دست آمده محاسبه و وجود داشته باشد.

در این مقاله برای مرحله اول، آماره T^2 در حالت پارامترهای معلوم و نامعلوم فرمول‌بندی و ارائه می‌گردد. آنگاه توزیع نمونه‌ای این آماره و خواص آن که در تهیه نمودار کنترل در مرحله اول و در تشخیص مشاهده خارج از کنترل در مرحله دوم مورد استفاده قرار گرفته و قضایای مربوطه اثبات می‌شود که در پیوست آورده شده‌اند. سپس نمودارهای کنترل ساخته شده، بر مبنای آماره T^2 ، با نمودارهای توان K که برای تک مؤلفه‌های بردار میانگین به طور مجزا در نظر گرفته شده است، مورد مقایسه قرار می‌گیرند. همچنین نشان می‌دهیم که آماره T^2 نسبت به روش نمودارهای توان مؤلفه‌ها در تشخیص مشاهدات خارج از کنترل محافظه کارانه‌تر رفتار می‌کند. از این رو با توجه به شباهت این نمودارها با فواصل اطمینان و تعمیم آن به آزمون فرض‌ها می‌توان نتیجه گرفت که خطای نوع اول در کاربرد آماره T^2 کوچک‌تر و توان آن در تشخیص مشاهدات پرت و خارج از کنترل بیشتر است. این موارد را همراه با داده‌های شبیه سازی شده و ارائه داده‌های واقعی در قالب مثال‌ها مورد

در حالت تک متغیره ($1 = p$)، این آزمون به وسیله نمودار کنترل شوارت در سطح معنی داری α انجام می‌گیرد. ممکن است تصور شود که بتوان در حالت چند متغیره نیز با تشکیل p نمودار شوارت برای هر یک از p متغیر در سطح α آزمون فوق را انجام داد ولی چنین روشنی، همانطور که نشان داده خواهد شد، همبستگی بین متغیرها را در نظر نمی‌گیرد بلکه موجب افزایش خطای نوع اول کل از مقدار اولیه هدف می‌شود.

اما تجربه نشان داده است که در عمل پارامترها نامعلوم‌اند و اغلب اطلاع دقیقی در مورد عملکرد فرآیند در دسترس نیست. در این شرایط، مطالعه و کاربرد توزیع آماره T^2 مفید است. برای این منظور در بخش ۵ مثالی ارائه خواهد شد. با این توضیحات، با فرض نامعلوم بودن پارامترهای جامعه، با استفاده از داده‌های اولیه، برآوردهای \bar{X} و S را برای μ و Σ به دست می‌آوریم.

حالت دوم: فرض کنید k نمونه مستقل به حجم n ، از $(n > p)$ ، از $N_p(\mu, \Sigma)$ انتخاب شده باشند. با فرض $\mu_1 = \mu_2 = \dots = \mu_k = \mu$ آماره T^2 مربوط به بردار میانگین هر نمونه، \bar{X}_i ، و توزیع متناظر با آن با استفاده از قضیه ۲ در پیوست عبارت است از:

$$T_i^2 = \frac{kn}{k-1} (\bar{X}_i - \bar{\bar{X}})' S^{-1} (\bar{X}_i - \bar{\bar{X}}) \sim (kn - 1) \beta'_{(p, kn-p-1, \tau_i)} ; i = 1, 2, \dots, k \quad (2)$$

که در آن:
 $S = \frac{1}{kn-1} \sum_{i=1}^k (\bar{X}_i - \bar{\bar{X}})(\bar{X}_i - \bar{\bar{X}})'$, $\bar{\bar{X}} = \frac{\sum_{i=1}^k \bar{X}_i}{k}$
 و $kn \geq p + 2$ می‌باشد.

عبارت $\mu_1 = \mu_2 = \dots = \mu_k = \mu$ بیان کننده تحت کنترل بودن فرآیند است. به بیان دیگر وقتی فرض $\mu_1 = \mu_2 = \dots = \mu_k = \mu$ درست باشد، تحت این فرض با احتمال α آماره T^2 از نقطه بحرانی، $UCL = (kn - 1) \beta'_{(\alpha, \frac{p}{k}, \frac{kn-p-1}{k})}$ ، فراتر

یکی از خواص روش کنترل در حالت چند متغیره ثابت نگه داشتن خطای کل در سطح معین α است. به این منظور آماره نموداری چند متغیره زیر را که آماره T^2 هتلینگ می‌نامند، معرفی می‌کیم.

$$T^2 = (\bar{X} - \mu)' \Sigma^{-1} (\bar{X} - \mu) \quad (1)$$

این آماره با معلوم بودن پارامترها، وقتی که فرآیند تحت کنترل باشد یا $\mu = \mu_i$ ، دارای توزیع خی دو با درجه آزادی است و بنابراین با احتمال از نقطه بحرانی $\chi^2_{p,\alpha}$ فراتر می‌رود [۱]. از این رو، برای ناحیه بحرانی $\chi^2_{p,\alpha} > T^2$ خطای نوع اول کل دقیقاً در سطح α باقی می‌ماند. این آزمون را می‌توان با یک نمودار از نوع شوارت که دارای حد کنترل بالایی $\chi^2_{p,\alpha}$ است نیز انجام داد. اما اگر $\mu_i \neq \mu$ ، آن‌گاه T^2 دارای توزیع خی دو غیرمرکزی با p درجه آزادی و پارامتر غیرمرکزی $\lambda = (\mu_i - \mu)' \Sigma^{-1} (\mu_i - \mu)$ صورت توان آزمون چنین نموداری به λ بستگی

در مونتاژ می‌شود، لازم است که از روش‌های کنترل کیفیت چند متغیره استفاده شود. به این منظور دو متغیر X_1 و X_2 را، که X_1 میزان انحراف قطعه بدن در قسمت سقف و X_2 میزان انحراف قطعه بدن در قسمت کف اتومبیل می‌باشند، تعریف می‌کنیم. سپس ۱۵ نمونه ۵ تابی به طور متوالی از هر دو مشخصه جمع آوری می‌گردد. این داده‌ها در جدول (۱) آورده شده‌اند. با استفاده از این داده‌ها محاسبات را انجام و نتایج مربوطه در جدول (۲) ارائه شده است. بنابراین برآوردهای مورد نیاز، یعنی $\bar{\bar{X}}$ و S برای برآورد μ و Σ عبارت‌اند از:

$$\hat{\mu} = \bar{\bar{X}} = \begin{bmatrix} 0/3296 \\ -0/2341 \end{bmatrix}$$

$$\hat{\Sigma} = S = \begin{bmatrix} 7/0285 & 2/1329 \\ 2/1329 & 5/0566 \end{bmatrix}$$

برای رسم یک نمودار کنترل، با استفاده از داده‌های اولیه، مقادیر T_i^2 متناظر با این داده‌ها از رابطه (۲) به دست آمده و با UCL مقایسه می‌شوند. هر یک از T_i^2 ‌ها که مقدار آن بزرگ‌تر از UCL باشد، بردار میانگین متناظر با آن حذف شده و برآورد پارامترها مجدداً محاسبه می‌گردد. مقادیر T_i^2 در جدول (۲) ارائه شده‌اند و مقدار عددی UCL برای $0/05 = \alpha$ برابر است با:

$$UCL = \leftarrow (15 \times 0.05) \times \beta_{0.05} = (75 - 1) \times 0.05 = 74 \times 0.0798 = 5.91$$

می‌رود [۷]. نمودار کنترل T^2 در این حالت مشابه یک نمودار شوارت در حالت تک متغیره است که دارای حد بالایی به اندازه UCL است. از آنجا که به علت ماهیت ساختاری T^2 هر انحرافی از میانگین منجر به افزایش آماره T^2 می‌شود معمولاً حد پایین برابر صفر قرار داده می‌شود. توجه کنید که اگر فرآیند خارج از کنترل باشد، این آماره دارای توزیع بتا غیر مرکزی $\beta'_{(p, kn-p-1, \tau_i)}$ است که در آن $\tau_i^2 = (\frac{kn}{k-1})(\mu_i - \bar{\mu})' \Sigma^{-1} (\mu_i - \bar{\mu})$ پارامتر غیر مرکزی برای $\bar{\mu}$ است.

۳ مطالعه موردی با داده‌های واقعی

در خط مونتاژ بدن اتومبیل ابتدا بخش‌های بدن در کف ماشین نصب شده و سپس سقف اتومبیل بر مجموعه کف و بدن نصب می‌گردد. هر یک از مراحل نصب با اهمیت هستند، زیرا هر گونه انحراف در این بخش از مونتاژ منجر به بروز مشکل در نصب سایر قطعات مانند درب‌ها، شیشه‌ها و جفت‌گیری آن‌ها می‌گردد.

هدف، ارزیابی و کنترل فرآیند مونتاژ بدن می‌باشد. با بررسی انجام شده، فرآیند نیاز به کنترل میزان انحراف نصب در بخش پایین بدن با کف و همچنین میزان انحراف نصب در بخش فوقانی بدن با سقف اتومبیل دارد. از آنجا که این دو مشخصه همبستگی دارند و تعامل انحرافات ذکر شده آن‌ها منجر به کسب نتایج مختلف توأم

جدول ۱. میزان انحراف در نمونه ها

#	انحراف از سقف X_1					انحراف از کف X_2				
	۱	۲	۳	۴	۵	۱	۲	۳	۴	۵
۱	-۰/۹۳۴	۱/۲۸	۲/۳۶	-۰/۶۳	۲/۱۸	-۱/۳۳	۴/۰۷۴	۰/۱۹۴	-۰/۵۴	۰/۴۲
۲	-۱/۴۲۱	-۰/۶۳	-۷/۴۱	-۴/۴۳	۲/۶۷	-۳/۲۵	-۰/۷۴	-۱/۳۱	-۲/۵۴	۰/۹۷
۳	۴/۹۰۱	-۲/۵۸	۲/۲	-۰/۵۹	۱/۷۷	۲/۸۸	-۰/۰۲	۲/۲۵۸	-۲/۹	۲/۴۵
۴	-۲/۱۳۱	-۰/۸۱	-۰/۵۸	-۴/۵۳	۱/۰۸	-۲/۴۲	-۲/۰۹	-۱/۷۱	-۱/۶۵	-۲/۹۹
۵	-۵/۴۴	-۰/۸	۳/۲۴	۰/۴	-۰/۳	-۳/۴۴	-۰/۴۶	۲/۲۹۴	۳/۳۸۵	-۲/۸۳
۶	۴/۵۳۱	-۱/۲۵	۰/۸۵	۱/۹۵	۲/۹	-۰/۸۱	-۰/۹۳	-۰/۰۴	۳/۹۱۵	۲/۲۳
۷	-۰/۴۰۶	-۵/۲	-۲/۵۲	۲/۴۷	-۰/۵	-۰/۲	-۲/۷	۰/۱۳۴	۰/۹۲	-۶/۲۲
۸	۱/۷۹۳	-۱/۱۲	۳/۰۹	-۱/۲۴	۰/۲۶	۰/۶۵	-۰/۳۶	-۲/۵۸	۰/۷۵۹	۱/۶
۹	۲/۸۳۶	-۰/۵۲	۶/۳۲	۱/۹۹	-۱/۵	-۱/۱۹	-۰/۵	۰/۹۷۴	-۱/۹۶	-۲/۸۱
۱۰	-۰/۴۳۳	۴/۶۳	-۱/۹۱	-۲/۵۲	۰/۱۷	۲/۲۸	۱/۹۴۳	۲/۶۶۱	-۳/۱۲	۰/۵۷
۱۱	۰/۶۸۹	۱/۲۶	۴/۴	-۲/۳۱	۲/۱۴	-۴/۲۶	۲/۴۹۵	۰/۹۴۶	۲/۴۵۱	-۰/۳۱
۱۲	۲/۱۵	۰/۴۴	۴/۱۶	-۰/۵۳	-۲/۹	-۲/۶۲	۲/۲۳۷	۰/۲۵۳	-۱/۲۳	۰/۲۱
۱۳	۰/۲۰۶	۰/۸۴	۲/۸۹	۵/۴	۲/۱۷	۰/۷۲	۱/۱۵۶	-۱/۲	۰/۵۳۳	۴/۰۴
۱۴	-۱/۶۱	-۱/۹۴	۱/۳۹	۰/۹۶	-۲/۳	-۱/۸۷	-۱/۲۱	-۳/۰۴	۱/۲۲۳	-۰/۸
۱۵	۲/۲۴۶	-۲/۴۱	۱/۳۹	۰/۹۹	۰/۶۴	۰/۹۲	۰/۱۱۱	-۳/۲۹	۲/۰۳۵	-۲/۹۸

متغیره شوارت با روش استفاده از نمودار کنترل چند متغیره T^2 هتلینگ، بیضی کنترل مربوط به روش کنترل چند متغیره، به همراه نمودارهای کنترل یک متغیره و همچنین پراکنش دادهها در شکل (۲) نمایش داده شده است.

با توجه به مقدار عددی UCL تمامی ۱۵ مشاهده تحت کنترل هستند. نمودار کنترل T^2 که برای این مجموعه از دادهها در شکل (۱) رسم شده است مؤید همین معنا است.

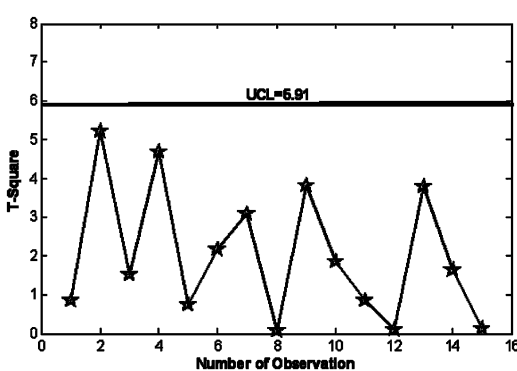
جدول ۲. داده های لازم برای آنالیز

#	\bar{x}_1	\bar{x}_2	T_i^2
۱	۱/۱۲۵۲	۰/۵۶۳۶	۰/۸۵۸
۲	-۲/۲۴۴	-۱/۳۷۴	۰/۲۰۵
۳	۱/۱۴۰۲	۰/۹۳۳۶	۱/۵۳۳
۴	-۱/۳۹۴	-۲/۱۷۲	۴/۶۹۷
۵	-۰/۵۸	-۰/۲۱	۰/۷۴۰
۶	۱/۲۹۶۲	۰/۸۲۳	۲/۱۷۲
۷	-۱/۲۴۱	-۱/۷۱۳	۳/۱۰۱
۸	۰/۵۵۶۶	۰/۰۱۳۸	۰/۰۷۸
۹	۱/۸۲۵۲	-۱/۰۹۷	۳/۸۱۲
۱۰	-۰/۰۱۳	۰/۸۶۶۸	۱/۸۵۳
۱۱	۱/۲۲۵۸	۰/۴۶۴۴	۰/۸۴۴
۱۲	۰/۶۶۴	-۰/۰۳	۰/۰۹۸
۱۳	۲/۴۰۱۲	۱/۰۴۹۸	۳/۷۹۳
۱۴	-۰/۹	-۱/۲۳۹	۱/۶۳۷
۱۵	۰/۵۷۱۲	-۰/۴۴۱	۰/۱۳۹

شکل ۱. نمودار T^2

با انجام این مقایسه نشان خواهیم داد که چگونه یک نمودار کنترل T^2 شرایط تحت کنترل بودن سیستم را نشان می دهد در حالی که استفاده همزمان

به منظور مقایسه دو روش ذکر شده در مقدمه، یعنی روش استفاده از p نمودار همزمان کنترل یک



۱.۳ مقایسه روش ها

$$\hat{\Sigma} = S = \begin{bmatrix} 7/0.285 & 2/1229 \\ 2/1229 & 5/0.566 \end{bmatrix}$$

و

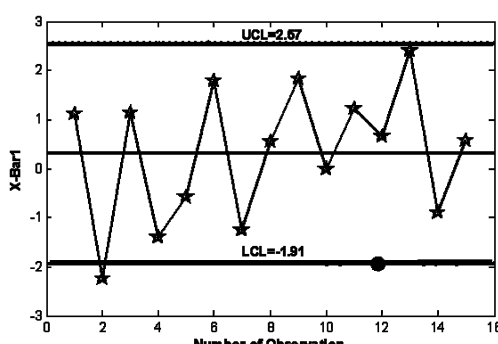
$$\hat{\mu} = \bar{\bar{X}} = \begin{bmatrix} 0/3296 \\ -0/2341 \end{bmatrix}$$

بنابراین به منظور کنترل سیستم برای هر تک متغیر حدود کنترل مجزا برای \bar{X}_1 و \bar{X}_2 با انتخاب:

$$\bar{x}_1 \pm c_1 \sqrt{\frac{s_{11}}{n}} = 0/3296 \pm (1/888) \leftarrow \\ \rightarrow \sqrt{\frac{7/0.285}{5}} = \begin{cases} 2/57 \\ -1/91 \end{cases}$$

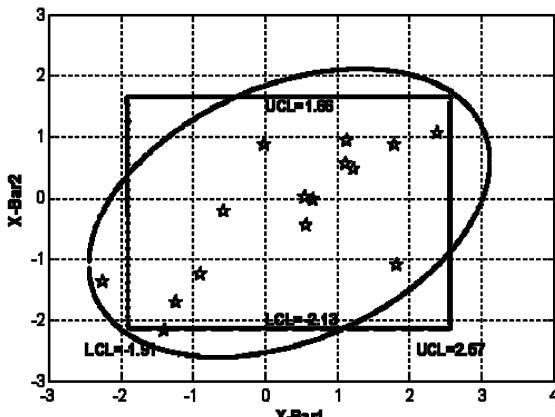
و

$$\bar{x}_2 \pm c_1 \sqrt{\frac{s_{22}}{n}} = -0/2341 \pm (1/888) \leftarrow \\ \rightarrow \sqrt{\frac{5/0.566}{5}} = \begin{cases} 1/66 \\ -2/13 \end{cases}$$

شکل ۳. نمودار کنترل \bar{X} برای متغیر اول

نمودارهای تک متغیره فوق در شکل‌های (۳) و (۴) نمایش داده شده‌اند. همان‌طور که مشاهده

دو نمودار کنترل یک متغیره \bar{X} ، ناتوان از این حقیقت است. توجه شود، در این نمودار دو نقطه‌ای که یکی از نظر x_1 و دیگری از نظر x_2 خارج از حدود کنترل هستند، سیستم را خارج از کنترل تشخیص داده است.



شکل ۲. ناحیه کنترل تک متغیره و دو متغیره

لازم به ذکر است که از نظر ساختاری تفاوت بیضی و مستطیل به دلیل همبستگی دو متغیر است. زیرا ناحیه بیضی گون با در نظر گرفتن همبستگی دو متغیر به دست آمده در حالی که ناحیه مستطیل شکل از بعد نظری دو متغیر را مستقل فرض می‌کند. همان‌طور که مشاهده می‌شود دامنه عملکرد متغیرهای واپسیه چند متغیره بزرگ‌تر از حدود نمودار کنترل متغیرهای مستقل است.

در حالت تک متغیره، $p = 1$ ، حدود کنترل متناظر با رابطه (۲) برای \bar{X} برابرند با:

$$\bar{\bar{X}} \pm S \sqrt{\frac{(k-1)(kn-1)}{kn}} \sqrt{\beta_{(\alpha, \frac{1}{\sqrt{n}}, \frac{kn-1}{\sqrt{n}})}} = \leftarrow \\ \rightarrow = \bar{\bar{X}} \pm c_1 \frac{S}{\sqrt{n}}$$

این نمودار کنترل دقیقاً دارای سطح معنی داری α می‌باشد. در این مثال،

$$\sim \frac{(kn-1)p}{kn-p} F'_{(p, kn-p, \tau_i)} \quad (3)$$

نادیده گرفتن این همبستگی منجر به حد کنترل تقریبی

می شود هر یک از نمودارها یک نقطه خارج از کنترل دارند. البته باید توجه نمود که در اینجا آزمون تنها یک نقطه خارج از ناحیه کنترل مورد نظر بوده است. اطلاعات بیشتر درباره آزمون های دیگر در منابع [۳] و [۴] یافت می شود.

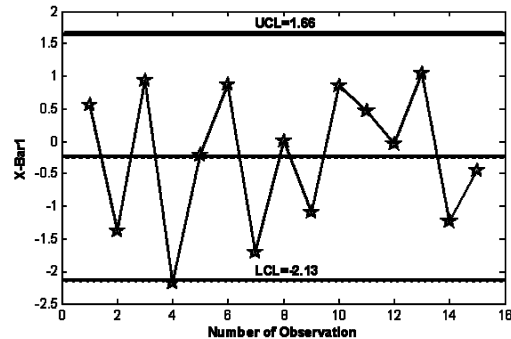
$$UCL = \frac{(kn-1)p}{kn-p} F_{(\alpha, p, (kn-p))}$$

تحت فرض H_0 برای T_i^* در (۲) می شود (اثبات در پیوست).

با قراردادن $1 = p$ ، حدود کنترل تک متغیره متناظر عبارت اند از:

$$\bar{\bar{X}} \pm \sqrt{\frac{k-1}{kn}} t_{\frac{\alpha}{2}, (kn-1)} S = \bar{\bar{X}} \pm c_1 \frac{S}{\sqrt{n}}$$

در جدول (۳) مقادیر c_1 و c_2 به ازای $\alpha = 0.0027$ مقایسه می شوند. ملاحظه می شود که در صورت استفاده از توزیع بتا به جای حدود تجربی سه انحراف معیار، عددی کوچکتر از ۳ باید در محاسبه منظور شود که این واقعیتی غیر محافظه کارانه را در خارج از کنترل تلقی نمودن نمونه (سیستم) بیان می کند. همچنین به ازاء هر n داده شده مقادیر c_1 از c_2 کوچکتر است.



شکل ۴. نمودار کنترل \bar{X} برای متغیر دوم

در قسمت قبل به دلیل اینکه داده های موجود شرایط داده های اولیه در مرحله اول یک فرآیند کنترل کیفیت آماری را داشتند، بردار $\bar{X}_i - \bar{\bar{X}}$ و S همبسته فرض شد و با استفاده از قضیه ۲، توزیع بتا برای آماره T^* به کار برده شد. اما در صورتی که از این همبستگی چشم پوشی کنیم، مطابق قضیه ۱، آماره T^2 با ضریبی ثابت دارای توزیع F به صورت زیر می باشد.

$$T_i^* = \frac{kn}{k-1} (\bar{X}_i - \bar{\bar{X}})' S^{-1} (\bar{X}_i - \bar{\bar{X}})$$

جدول ۳. مقادیر c_1 و c_2 برای $\alpha = 0.0027$

	$n = 1$		$n = 2$		$n = 3$		$n = 4$		$n = 5$	
k	c_1	c_2								
۱۰	۲/۳۷	۳/۸۸	۲/۶۲	۳/۲۷	۲/۷	۳/۱۱	۲/۷۴	۳/۰۴	۲/۷۶	۳
۱۵	۲/۵۹	۳/۵۱	۲/۷۵	۳/۱۷	۲/۸	۳/۰۷	۲/۸۲	۳/۰۳	۲/۸۴	۳
۲۰	۲/۶۹	۳/۳۶	۲/۸۱	۳/۱۲	۲/۸۵	۳/۰۵	۲/۸۷	۳/۰۲	۲/۸۸	۳
۲۵	۲/۷۵	۳/۲۸	۲/۸۵	۳/۱	۲/۸۸	۳/۰۴	۲/۸۹	۳/۰۲	۲/۹	۳
۳۰	۲/۸	۳/۲۲	۲/۸۷	۳/۰۸	۲/۹	۳/۰۲	۲/۹۱	۳/۰۱	۲/۹۲	۳
۳۵	۲/۸۳	۳/۱۹	۲/۸۹	۳/۰۷	۲/۹۱	۳/۰۳	۲/۹۲	۳/۰۱	۲/۹۳	۳
۴۰	۲/۸۵	۳/۱۶	۲/۹۱	۳/۰۶	۲/۹۲	۳/۰۲	۲/۹۳	۳/۰۱	۲/۹۴	۳

جدول ۳. (ادامه) مقادیر c_1 و c_2 برای $\alpha = 0.0027$

	$n = 6$		$n = 7$		$n = 8$		$n = 9$		$n = 10$	
k	c_1	c_2	c_1	c_2	c_1	c_2	c_1	c_2	c_1	c_2
۱۰	۲/۷۷	۲/۹۷	۲/۷۸	۲/۹۶	۲/۷۸	۲/۹۴	۲/۸	۲/۹۳	۲/۸	۲/۹۲
۱۵	۲/۸۴	۲/۹۸	۲/۸۶	۲/۹۸	۲/۸۶	۲/۹۶	۲/۸۶	۲/۹۶	۲/۸۷	۲/۹۵
۲۰	۲/۸۹	۲/۹۹	۲/۸۹	۲/۹۸	۲/۸۹	۲/۹۷	۲/۸۹	۲/۹۶	۲/۹۱	۲/۹۶
۲۵	۲/۹۱	۲/۹۹	۲/۹۱	۲/۹۸	۲/۹۱	۲/۹۸	۲/۹۲	۲/۹۷	۲/۹۲	۲/۹۷
۳۰	۲/۹۲	۲/۹۹	۲/۹۳	۲/۹۸	۲/۹۳	۲/۹۸	۲/۹۳	۲/۹۷	۲/۹۳	۲/۹۷
۳۵	۲/۹۳	۲/۹۹	۲/۹۴	۲/۹۹	۲/۹۴	۲/۹۹	۲/۹۴	۲/۹۹	۲/۹۴	۲/۹۸
۴۰	۲/۹۵	۲/۹۹	۲/۹۵	۲/۹۹	۲/۹۵	۲/۹۹	۲/۹۵	۲/۹۹	۲/۹۵	۲/۹۹

$X_{fn} \sim N_p(\mu_f, \Sigma_f)$ نمایش داد که

در آن μ_f و Σ_f پارامترهای نامعلوم هستند.

نمودار کنترل T^2 برای فرآیند جدید (مرحله دوم)

فرض ثابت ماندن بردار میانگین در طول زمان را

آزمون می‌نماید. یعنی: $\mu_f = \mu$. با فرض

$\Sigma_f = \Sigma$ ، تابع توان نمودار کنترل T^2 احتمال رد

شدن فرض H_0 را در سطوح مختلف پارامترهای

μ_f و Σ محاسبه می‌کند. البته این احتمال به

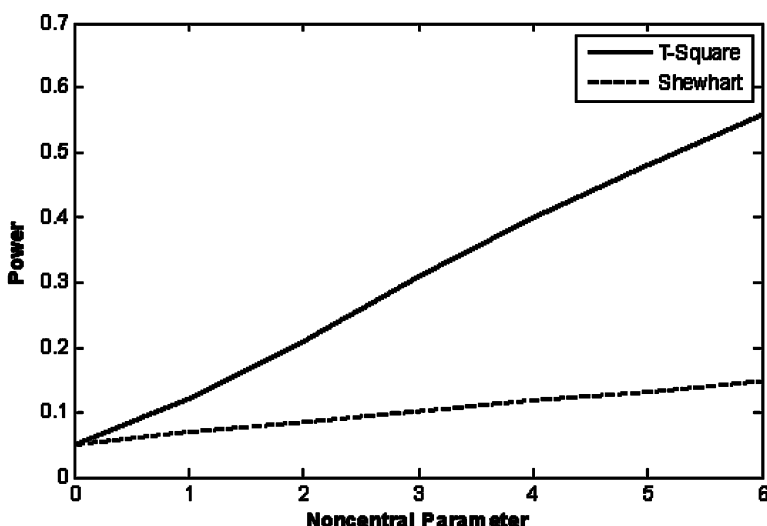
مقادیر ثابت p, n, k و α بستگی دارد.

۴ مقایسه توان دو آزمون

در مرحله اول k نمونه n تایی که دارای توزیع نرمال با پارامترهای نامعلوم بودند گرفته شد. به عبارت دیگر

$$\left. \begin{array}{c} X_{11}, \dots, X_{1n} \\ \dots \\ X_{k1}, \dots, X_{kn} \end{array} \right\} N_p(\mu, \Sigma)$$

برای محاسبه توان آزمون فرض می‌کنیم نمونه‌ای n تایی مستقل از داده‌های اولیه در حین تولید گرفته شود. این نمونه را می‌توان به صورت

شکل ۵. توان آزمون نمودارهای T^2 و توان شوارت

داده برای هر زوج برابر ۸۸٪ می باشد.

برای اینکه مقایسه مناسبی انجام شود، مقدار خطای نوع اول را در هر دو روش یکسان قرار می دهیم، لذا به ازای α معلوم p نمودار شوارت را به صورت زیر تعریف می کنیم.

فرض کنید $p = 2^{\tau}$ ، مقدار c را طوری تعیین می کنیم که رابطه زیر برقرار شود:

$$\begin{aligned} \alpha &= 1 - p(-c \leq \frac{X_1 - \mu_1}{\sigma_{11}} \leq c \cap -c \leq \frac{X_2 - \mu_2}{\sigma_{22}} \leq c) \\ &= 1 - p(-c \leq Z \leq c \cap -c \leq Z \leq c) \\ &= 1 - \left(\int_{-c}^c \int_{-c}^c f(z_1, z_2) dz_1 dz_2 \right) \quad (5) \end{aligned}$$

که در آن $f(z_1, z_2)$ تابع چگالی توأم نرمال استاندارد دو متغیره با همبستگی ρ می باشد. بنابراین حدود کنترل برای X_1 برابر $\mu_1 \pm c\sigma_{11}$ و برای X_2 برابر $\mu_2 \pm c\sigma_{22}$ است. جدول (۴) مقادیر c را به ازای α و ضریب همبستگی های مختلف ارائه می دهد.

آماره T^2 و توزیع آن در این حالت برابر است با:

$$\begin{aligned} T^2 &= \frac{kn}{k+1} (\bar{\mathbf{X}}_i - \bar{\bar{\mathbf{X}}})' S^{-1} (\bar{\mathbf{X}}_i - \bar{\bar{\mathbf{X}}}) \\ &\sim \frac{(kn-1)p}{kn-p} F'_{(p, kn-p, \tau^2)} \quad (4) \end{aligned}$$

که در آن

$$\tau^2 = \left(\frac{kn}{k+1} \right) (\boldsymbol{\mu}_f - \bar{\boldsymbol{\mu}})' \Sigma^{-1} (\boldsymbol{\mu}_f - \bar{\boldsymbol{\mu}})$$

و $kn \geq p + 1$ فرض می شود (اثبات در پیوست). شکل (۵) توان آزمون مربوط به نمودار T^2 و نمودارهای توأم شوارت را نمایش می دهد.

۵ مطالعه موردی با داده های شبیه سازی شده

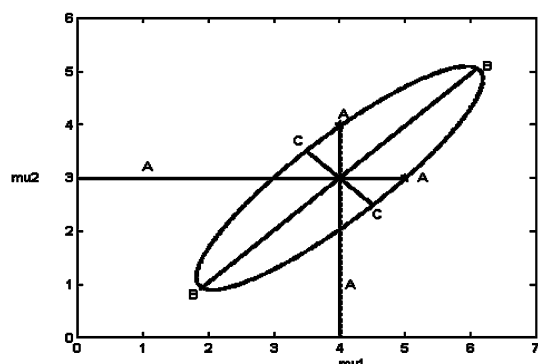
در این بخش، مثالی با ۱۰۰ داده شبیه سازی شده از توزیع نرمال دو متغیره ارائه شده که با استفاده از آن به مقایسه توان آزمون در هر دو روش پرداخته می شود. فرض کنید $\mathbf{X} \sim N_2(\boldsymbol{\mu}, \Sigma)$ به طوری که $\Sigma = \begin{bmatrix} ۱/۷۹۸۳ & ۰/۶۷۹۳ \\ ۰/۶۷۹۳ & ۰/۷۳۴۲ \end{bmatrix}$ و $\boldsymbol{\mu} = \begin{bmatrix} ۴ \\ ۳ \end{bmatrix}$ که در این صورت ضریب همبستگی این

جدول ۴. مقادیر c

ρ	α			
	۰/۰۱	۰/۰۵	۰/۰۰۳	۰/۰۰۵
۰	۲/۸۰۶	۲/۲۳۶۵	۳/۱۷۴۵	۳/۰۲۳
۰/۱	۲/۸۰۵	۲/۲۳۶	۳/۱۷۴۳	۳/۰۲۲۸
۰/۲	۲/۸۰۵	۲/۲۳۳	۳/۱۷۳۸	۳/۰۲۲۱
۰/۳	۲/۸۰۳	۲/۲۲۸۵	۳/۱۷۲۸	۳/۰۲۰۸
۰/۴	۲/۸	۲/۲۲۲	۳/۱۷۰۹	۳/۰۱۸۳
۰/۵	۲/۷۹۵	۲/۲۱۲	۳/۱۶۷۴	۳/۰۱۴۲
۰/۶	۲/۷۸۵	۲/۱۹۹	۳/۱۶۱۵	۳/۰۰۷۳
۰/۷	۲/۷۷۴	۲/۱۸	۳/۱۵۱۵	۲/۹۹۶۲
۰/۸	۲/۷۵۳	۲/۱۵۲۵	۳/۱۳۴۴	۲/۹۷۷۸
۰/۹	۲/۷۱۵	۲/۱۰۸	۳/۱۰۲۱	۲/۹۴۳۷

پس از بررسی این نقاط، ملاحظه شد که با استفاده از نمودارهای همزمان شوارت و وجود انحرافی مانند نقاط C ، توان نمودار کنترل بدترین حالت را دارد. در مقابل، نقاط B بهترین توان را برای کشف انحرافی در میانگین با $\lambda = 1$ دارند. بنا بر این برای اینکه بتوانیم از هر دو روش استفاده کنیم بهتر است نقاط A را انتخاب کنیم زیرا فاصله بین این نقاط و میانگین تحت کنترل حد وسط نقاط B و C می باشد.

همان طور که اشاره شد، توان آزمون در نمودار T^2 به λ بستگی دارد در صورتی که در نمودارهای همزمان شوارت توان به نوع انحراف بستگی دارد. به عنوان مثال، اگر بخواهیم توان آزمون را برای هر دو روش با مقدار انحراف $\lambda = 1$ مقایسه کنیم، با تغییر بردار میانگین تحت کنترل بیشمار بردار میانگین می توان دید که به مقدار $\lambda = 1$ منتهی می شود. مثلًا بردارهای زیر همگی فاصله یکسان و برابر یک با μ دارند:



شکل ۶. ناحیه کنترل دو متغیره

در این مثال به دلیل معلوم بودن پارامترها آماره T^2 دارای توزیع خی دو با ۲ درجه آزادی است و توان آزمون عبارت است از:

$$\begin{aligned} \text{توان} &= P_{H_0}(T^2 \geq UCL) \\ &= P(\chi_{p,\lambda}^2 \geq \chi_{p,\alpha}^2) \\ &= P(\chi_{\lambda,\lambda}^2 \geq \chi_{0.05}^2) \\ &= P(\chi_{\lambda,\lambda}^2 \geq 5.991) \quad (6) \end{aligned}$$

$$\begin{aligned} \mu_i &= \begin{bmatrix} 4/412 \\ 3 \end{bmatrix} \\ \mu_i &= \begin{bmatrix} 4/211 \\ 2/795 \end{bmatrix} \\ \mu_i &= \begin{bmatrix} 4 \\ 3/396 \end{bmatrix} \end{aligned}$$

توان آزمون نمودار کنترل T^2 برای تمام این بردارهای خارج از کنترل یکسان است ولی نمودارهای همزمان شوارت توانهای متفاوتی به ازای هر یک از این بردارها دارند. اما کدام یک از این بردارهای خارج از کنترل را می بایست برای مقایسه انتخاب نمود؟ شکل (۶) مقادیر ممکن از هر دو میانگین مورد نظر در فرآیند را نشان می دهد. نقاطی که با A نامگذاری شده اند، نقاطی هستند که تنها در یکی از میانگین ها تغییری داده شده است تا فاصله آن از بردار میانگین تحت کنترل برابر یک شود. نقاط B مکان هایی از بیضی را نشان می دهد که بیشترین فاصله را با بردار میانگین دارند و نقاط C دارای کمترین فاصله هستند.

۱.۵ مقایسه توان دو آزمون

به منظور مقایسه توان آزمون مربوط به هر یک از دو روش، با مقادیر معلوم μ, α, p و σ میزان انحرافی در میانگین را جستجو می کنیم که به ازای آنها λ برابر مقدار معینی گردد. سپس با استفاده از روابط (۶) و (۷) توان آزمون را محاسبه می کنیم.

جدول (۵) نتایج حاصل را در سطح $\alpha = 0.05$ برای مثال فوق نشان می دهد.

توان حاصل از کاربرد نمودار شوارت همزمان $(p = 2)$ با استفاده از رابطه (۵) و تعیین مقدار c عبارت است از:

$$1 - \int_{\mu_1 - c\sigma}^{\mu_2 + c\sigma} \int_{\mu_1 - c\sigma}^{\mu_2 + c\sigma} f(x_1, x_2) dx_1 dx_2 \quad (7)$$

که در آن $f(x_1, x_2)$ تابع چگالی توان نرمال دو متغیره است.

جدول ۵ مقادیر توان آزمون

T^2	λ						
	۰	۱	۲	۳	۴	۵	۶
$0/05$	$0/1327$	$0/2256$	$0/3216$	$0/4155$	$0/5037$	$0/5841$	
شوارت توان							
$\rho = 0$	$0/05$	$0/0657$	$0/0823$	$0/0998$	$0/118$	$0/1368$	$0/1559$
$\rho = 0/2$	$0/05$	$0/0657$	$0/0823$	$0/0998$	$0/1181$	$0/132$	$0/1561$
$\rho = 0/4$	$0/05$	$0/0658$	$0/0825$	$0/1001$	$0/1186$	$0/1377$	$0/157$
$\rho = 0/6$	$0/05$	$0/0662$	$0/0834$	$0/1015$	$0/1205$	$0/1402$	$0/16$
$\rho = 0/8$	$0/05$	$0/0678$	$0/0866$	$0/1064$	$0/1269$	$0/1481$	$0/1693$

آماره محافظ کارانه‌تر از حالتی که هر مشخصه به صورت مجزا با نموداری تک متغیره (شوارت) خارج از کنترل نقطه را بیان نماید عمل می کند. از بعد نظری این موضوع مربوط به ساختار توزیعی آماره T^2 می شود که با نامعلوم بودن پارامترها و همبستگی $\bar{X}_i - \bar{S}$ منجر به توزیع بتا می گردد.

۲- با افزایش همبستگی بین متغیرها توان آزمون T^2 نیز افزایش می یابد. بنا بر این در صورت وجود همبستگی زیاد انتظار توان بالایی را خواهیم داشت. اما با مقدار همبستگی های کوچک تفاوت معنی

۶ بحث و نتیجه‌گیری

با بررسی حالتهای فوق نتایج زیر به دست می آیند (این نتایج به ازای مقادیر مختلف p و α برقرارند):

- در نظر گرفتن توان p مشخصه به صورت برداری p -متغیره، با مد نظر قرار دادن همبستگی متغیرها و استفاده از آماره T^2 هتلینگ، منتهی به نموداری چند متغیره به صورت بیضی گون می گردد. با ملاحظات مربوط به همبستگی متغیرها در خارج از کنترل تشخیص دادن نقطه نمونه این

به طوریکه $\mathbf{W} = \mathbf{W}' + \mathbf{X}\mathbf{X}'$ ، وقتی
 $\mathbf{W}' \sim \mathbf{W}_p(n-1, \Sigma)$ و \mathbf{X} مستقل از یکدیگر
 باشند. آنگاه، $T^2 = n\beta'_{(p, n-p, \tau^2)} = \mu'^{-1}\Sigma^{-1}\mu^2$ پارامتر غیر مرکزی است.

اثبات:

$$\begin{aligned} T^2 &= n\mathbf{X}'\mathbf{W}^{-1}\mathbf{X} = n\mathbf{X}'(\mathbf{W}' + \mathbf{X}\mathbf{X}')^{-1}\mathbf{X} \\ &= n\mathbf{X}'(\mathbf{W}' - \frac{1}{1+\mathbf{X}'\mathbf{W}^{-1}\mathbf{X}}) \leftarrow \\ &\rightarrow \mathbf{W}^{-1}\mathbf{X}\mathbf{X}'\mathbf{W}^{-1})\mathbf{X} \\ &= \frac{n\mathbf{X}'\mathbf{W}^{-1}\mathbf{X}}{1+\mathbf{X}'\mathbf{W}^{-1}\mathbf{X}} \end{aligned}$$

با استفاده از قضیه ۱ داریم:
 $n\mathbf{X}'\mathbf{W}^{-1}\mathbf{X} \sim \frac{np}{n-p}F'_{(p, n-p, \tau^2)}$ که در آن $\mu'^{-1}\Sigma^{-1}\mu^2 = \tau^2$. بنا بر این، توزیع T^2 برابر است با:

$$\begin{aligned} T^2 &\sim \frac{\frac{np}{n-p}F'_{(p, n-p, \tau^2)}}{1 + \frac{p}{n-p}F'_{(p, n-p, \tau^2)}} \\ &\sim \frac{n\chi'^2_{(p, \tau^2)}}{\chi'^2_{(n-p)} + \chi'^2_{(p, \tau^2)}} \end{aligned}$$

لذا با توجه به اینکه دو متغیر تصادفی خی دو مذکور مستقل از یکدیگر هستند و با استفاده از تعریف توزیع بتا غیر مرکزی اثبات قضیه کامل می شود.

۳- اثبات رابطه (۳):

$$V(\bar{\mathbf{X}}_i - \bar{\bar{\mathbf{X}}}) = \frac{1}{n}\Sigma + \frac{1}{kn}\Sigma - \frac{2}{kn}\Sigma = \frac{k-1}{kn}\Sigma$$

$\bar{\mu} = \frac{1}{k} \sum_{i=1}^k \mu_i$ زیرا $COV(\bar{\mathbf{X}}_i - \bar{\bar{\mathbf{X}}}) = \frac{1}{kn}\Sigma$ و اگر تعريف کنیم، داریم:

داری در اندازه توان مشاهده نمی شود.

۳- در صورت ثابت بودن ضریب همبستگی، با افزایش میزان انحراف در میانگین یا λ توان آزمون نیز افزایش یافته به طوری که برای مقادیر بزرگ λ و μ این افزایش بیش از سه برابر می شود. این موضوع بدین جهت می تواند مهم باشد که عموماً مقادیر بزرگ انحراف باعث عدم تطابق واحد ها \mathbf{X} شده و چنین انحراف هایی می بایست هر چه سریع تر تشخیص داده شوند.

۴- در صورت وجود همبستگی شدید بین متغیرها و مقدار انحراف زیاد، نمودار T^2 توانمندتر از نمودارهای شوارت توان می باشد. بنا بر این اگر چه نمودار کنترل T^2 پیچیده تراز شوارت است ولی روشنی بهتر برای کنترل یک فرآیند محسوب می شود.

۷ پیوست

قضیه ۱ فرض کنید $\mathbf{X}'\mathbf{W}^{-1}\mathbf{X}$ به طوریکه \mathbf{X} و \mathbf{W} به ترتیب بردار و ماتریس های تصادفی مستقل با $\mathbf{W} \sim \mathbf{W}_p(n, \Sigma)$ ، $n > p$ و $\mathbf{X} \sim N_p(\mu, \Sigma)$ آنگاه: $T^2 \sim \frac{np}{n-p+1}F'_{(p, n-p+1, \tau^2)}$ که در آن $\tau^2 = \mu'^{-1}\Sigma^{-1}\mu^2$ پارامتر غیر مرکزی است [۶].

قضیه ۲ فرض کنید $\mathbf{X}'\mathbf{W}^{-1}\mathbf{X} = n\mathbf{X}'\mathbf{W}^{-1}\mathbf{X}$ که در آن $\mathbf{W} \sim \mathbf{W}_p(n, \Sigma)$ ، $\mathbf{X} \sim N_p(\mu, \Sigma)$

: (۴) - اثبات رابطه $\sqrt{\frac{kn}{kn-1}}(\bar{\mathbf{X}}_i - \bar{\bar{\mathbf{X}}}) \sim N_p(\sqrt{\frac{kn}{kn-1}}(\bar{\boldsymbol{\mu}}_i - \bar{\boldsymbol{\mu}}), \Sigma)$
 بنا بر این $V(\bar{\mathbf{X}}_i - \bar{\bar{\mathbf{X}}}) = \frac{1}{n}\Sigma + \frac{1}{kn}\Sigma = \frac{k+1}{kn}\Sigma$
 $\sqrt{\frac{kn}{k+1}}(\bar{\mathbf{X}}_i - \bar{\bar{\mathbf{X}}}) \sim N_p(\sqrt{\frac{kn}{k+1}}(\bar{\boldsymbol{\mu}}_i - \bar{\boldsymbol{\mu}}), \Sigma)$
 و می دانیم: $(kn-1)\mathbf{S} \sim W_p(kn-1, \Sigma)$ که با استفاده از قضیه ۱ رابطه (۳) اثبات می شود.
 مجدداً با استفاده از قضیه ۱ اثبات کامل است.

مراجع

- [1] Mardia, K.V., Kent, J.T. and Bibby, J.M. (1979), *Multivariate Analysis*, Academic press, NewYork.
- [2] Mason, R.L. and Young, J.C.(1998), Hotelling's T2:A Multivariate Atatistic for Industrial Process Control, *Processdings of the 52nd Annual Quality Congress*, 78-85.
- [3] Nelson, L.S. (1984). The shewhart control chart-tests for special causes, *Journal of Quality Technology*, 16, 237-239.
- [4] Nelson, L.S. (1985), Interpreting shewart \bar{X} control chart, *Journal of Quality Technology*, 17, 114-116.
- [5] Nomikos, P. and MacGregor, J.F.(1995), Multivariate SPC charts for monitoring batch processes, *Technometrics* 37, 41-59.
- [6] Seber, G.A.F.(1984), *Multivariate Observations*, Wiley, NewYork.
- [7] Tracy, N.D., Young, J.C., and Mason, R.L.(1992), Multivariate control chart for individual observations, *Journal of Quality Technology*, 24, 88-95.
- [8] Woodall, W.H. and Thomas, E.V.(1995), Statistical process control with several components of common cause variability, *IIE Transactions* 27, 757-764.